

برآورد واریانس توزیع نرمال با استفاده از نمونه‌گیری مجموعه‌رتبه‌دار

نرگس مهدوی‌منش^۱، نصرالله ایران‌پناه^۲، احسان زمان‌زاده^۲
دانشگاه اصفهان، دانشکده‌علوم، گروه ریاضی

دریافت ۹۷/۰۶/۲۶ پذیرش ۹۷/۰۲/۲۱

چکیده

نمونه‌گیری یکی از مهم‌ترین بخش‌های علم آمار است. در هر تحقیق، پژوهشگر در پی یافتن روش مناسب برای جمع‌آوری نمونه و اطلاعات مربوط به آن است که کارا و کم هزینه باشد. در شرایطی که اندازه‌گیری واحدهای جامعه مشکل یا پرهزینه باشد، اما بتوان واحدهای جامعه را به سادگی و با کمترین هزینه رتبه‌بندی کرد، روش نمونه‌گیری مجموعه‌رتبه‌دار مورد استفاده قرار می‌گیرد. در این مقاله ابتدا روش نمونه‌گیری مجموعه‌رتبه‌دار معرفی می‌شود. سپس چند روش برآورد واریانس توزیع نرمال با ترکیب برآوردگرهای بین‌گروهی و درون‌گروهی نالریب ارائه می‌شود. در نهایت برآوردگرهای ارائه شده با استفاده از پژوهش‌های شبیه‌سازی با یکدیگر مقایسه می‌شوند.

واژه‌های کلیدی: توزیع نرمال، نمونه‌گیری مجموعه‌رتبه‌دار، نمونه‌گیری تصادفی ساده، کارایی، شبیه‌سازی مونت کارلو.

مقدمه

در برخی از تحقیقات کاربردی، اندازه‌گیری دقیق مشخصه تحت پژوهش پرهزینه یا دشوار بوده است؛ اما می‌توان واحدها را به آسانی انتخاب و رتبه‌بندی کرد. در این شرایط می‌توان از نمونه‌گیری مجموعه‌رتبه‌دار^۱ (RSS) استفاده کرد. به‌طور مثال برای تعیین دامنه نرمال سطح بیلیروبین در خون نوزادان تازه متولد شده باید نمونه خون از نوزادان انتخاب شده، گرفته و در آزمایشگاه میزان بیلیروبین آزمایش شود. از طرف دیگر سطح بیلیروبین در تعداد کمی نوزاد، با مشاهده صورت، قفسه سینه، قسمت‌های تحتانی بدن و نقاط انتهایی کل بدن که زرد است، قابل رتبه‌بندی است. روش RSS دارای قابلیت اجرایی در آزمایش‌های بالینی است. معمولاً هزینه آزمایش‌های بالینی برای بیمار زیاد است، اما برای هر بیمار آزمایش‌های بالینی را می‌توان با روش RSS بر اساس اطلاعاتی مانند سن، وزن، قد، فشار خون و سوابق سلامت انتخاب کرد که به‌طور معناداری باعث کمتر شدن هزینه آزمایش‌های بالینی می‌شود. روش RSS را اولین بار مکاینتایر^۲ [۴] به‌منظور برآورد میانگین محصولات یونجه معرفی کرد، اما وی نتوانست کارایی این روش نمونه‌گیری را نشان دهد. هالز و دل^۳ [۲] با استفاده از این روش نمونه‌گیری، میانگین ارتفاع درختان را برآورد کردند. تاکاهاشی و واکیموتو^۴ [۹] نشان دادند، برآوردگر میانگین جامعه در روش RSS نالریب و کارانتر از برآوردگر میانگین جامعه در نمونه‌گیری تصادفی ساده^۵ (SRS) است. دل و کلاتر^۶ [۱] از روش RSS بدون در نظر گرفتن این‌که

رتبه‌بندی واحدها کامل است یا ناقص، نشان دادند برآورده‌گر میانگین‌جامعه در روش RSS برای میانگین‌جامعه نالاریب است. استوکس [۷] روش RSS را بر اساس رتبه‌بندی متغیر کمکی به جای متغیر اصلی بررسی کرد. استوکس [۸] در روش RSS برآورده‌گری برای واریانس جامعه معرفی کرد که به طور مجانبی نالاریب و کارایی مجانبی آن بیشتر از برآورده‌گر واریانس جامعه در روش SRS است. سینهای و همکاران [۶] مسئله برآورده‌گر پارامترهای توزیع‌های نرمال و نمایی را در روش RSS بررسی کردند. یو و همکاران [۱۰] برآورده‌گر واریانس توزیع نرمال را در روش RSS در هر دو حالت متعادل و نامتعادل ارائه دادند. مکایچرن و همکاران [۳] برآورده‌گر نالاریبی برای واریانس جامعه در روش RSS ارائه کردند که کاراتر از برآورده‌گر واریانس جامعه در روش SRS و همچنین برآورده‌گر واریانس استوکس [۸] است. پرون و سینهای [۵] برآورده‌گر واریانس را به روش ناپارامتری بررسی کرده و همچنین ردهای از برآورده‌گرهای نالاریب برای واریانس جامعه در روش RSS معرفی کردند. فری و فیمن [۳] با استفاده از نمونه قضاوتی برآورده‌ی برای واریانس جامعه ارائه کردند. زمان‌زاده و واک [۱۲] برآورده‌گر واریانس با استفاده از متغیر کمکی را بررسی کردند.

در این مقاله، ابتدا به معرفی الگوریتم روش RSS پرداخته می‌شود. سپس برآورده‌گرهای نالاریب برای واریانس توزیع نرمال با استفاده از روش RSS در حالت یک چرخه و بیش از یک چرخه ارائه می‌شود. در نهایت، با استفاده از شبیه‌سازی، این برآورده‌گرها با یکدیگر و با برآورده‌گر ارائه شده در روش SRS مقایسه می‌شوند. برنامه‌های مورد نیاز برای پژوهش‌های شبیه‌سازی با استفاده از نرم‌افزار آماری R-3.3.1 انجام شده‌اند.

روش نمونه‌گیری مجموعه رتبه‌دار

نمونه‌گیری مجموعه رتبه‌دار از روش‌های نمونه‌گیری شناخته شده‌ای است که استفاده از آن برای برآورده‌گر پارامترهای نامعلوم جامعه اغلب موجب افزایش کارایی و دقت برآورده‌گر می‌شود. مرحله RSS به صورت زیر است:

مرحله ۱. ابتدا n^2 نمونه تصادفی از جامعه بررسی شده انتخاب و آن را به تصادف به n گروه سطري به حجم n بدین صورت تقسیم می‌کنیم:

$$\begin{array}{cccc} X_{11} & X_{21} & \dots & X_{n1} \\ X_{12} & X_{22} & \dots & X_{n2} \\ \vdots & \vdots & & \vdots \\ X_{1n} & X_{2n} & \dots & X_{nn} \end{array}$$

که در آن متغیر تصادفی X_{ij} معرف شاخص مورد نظر برای واحد i -ام در مجموعه j -ام است. مرحله ۲. بدون آگاهی از متغیر مورد نظر و بر اساس قضاوت شخصی و یا تجهیزات بصری و در کل هر روش بدون هزینه، n واحد درون هر گروه را بدین صورت رتبه‌بندی می‌کنیم:

مرحله ۳. از مجموعه r -ام ($r = 1, \dots, n$)، r -امین واحد رتبه‌بندی بدین صورت انتخاب و مقادیر آن‌ها اندازه‌گیری می‌شود:

که برای سادگی بدین صورت نمایش داده می‌شوند:

از آن جاکه با بزرگ شدن n امکان دارد رتبه‌بندی با خطای بیشتری صورت گیرد، معمولاً n را کوچک و بسته به توانایی محقق در رتبه‌بندی واحدهای نمونه بین ۳ تا ۱۰ انتخاب می‌کنند و برای رسیدن به حجم نمونه دلخواه، این مراحل را m بار، که به هر مرتبه یک چرخه می‌گویند، تکرار می‌کنند و به حجم نمونه $N = nm$ دست می‌یابند. رتبه‌ها برای هر واحد در هر مجموعه ممکن است مطابق با آماره ترتیبی متناظر با آن واحد نباشد، اگر رتبه‌های واحدها مطابق با آماره ترتیبی متناظر با آن واحد باشد رتبه‌بندی را کامل گویند و آن‌ها را با $X_{(r)}$ نشان می‌دهند. در این مقاله فرض بر این است که نمونه‌گیری کامل است و $X_{[r]}$ -ها توزیعی بکسان با توزیع r -امین آماره ترتیبی در یک نمونه تصادفی به حجم n دارند و با توجه به کامل بودن نمونه‌گیری آن‌ها را با $X_{(r)}$ نشان می‌دهیم.

برآورده واریانس برای یک چرخه

در این بخش برآورده‌گرهای نالریب برای σ^2 بر اساس یک چرخه در روش RSS معرفی می‌گردند. ابتدا برآورده‌گر استوکس [۸] را به صورت (۱) در نظر می‌گیریم:

$$\hat{\sigma}_{St}^2 = \frac{\sum_{r=1}^n (X_{(r)} - \hat{\mu})^2}{(n-1)} \quad (1)$$

که در آن $\hat{\mu} = \frac{\sum_r X_{(r)}}{n}$ است. و داریم:

$$E(\hat{\sigma}_{St}^2) = \sigma^2 + \frac{\sum_{r=1}^n (\mu_{(r)} - \mu)^2}{n(n+1)}$$

با قرار دادن $\sigma v_{(r)}$ به جای $(\mu_{(r)} - \mu)$ در رابطه مذکور می‌توان نوشت:

$$E(\hat{\sigma}_{St}^2) = \sigma^2 \left(1 + \frac{\sum_{r=1}^n v_{(r)}^2}{n(n+1)} \right)$$

در نتیجه داریم:

$$E \left(\frac{\hat{\sigma}_{St}^2}{1 + \frac{\sum_{r=1}^n v_{(r)}^2}{n(n+1)}} \right) = E \left(\frac{\sum_{r=1}^n (X_{(r)} - \hat{\mu})^2}{n-1 + \frac{1}{n} \sum_{r=1}^n v_{(r)}^2} \right) = \sigma^2$$

بنابراین برآورده‌گر (۲) را که تعمیمی از $\hat{\sigma}_{St}^2$ است، می‌توان به عنوان برآورده‌گر نالریب σ^2 در توزیع نرمال در نظر گرفت:

$$\hat{\sigma}_{SM}^2 = \frac{\sum_{r=1}^n (X_{(r)} - \hat{\mu})^2}{n-1 + \frac{1}{n} \sum_{r=1}^n v_{(r)}^2}. \quad (2)$$

یو و همکاران [۱۰] برآورده‌گر نالریب (۳) را برای واریانس توزیع نرمال با استفاده از روش RSS ارائه کردند:

$$\hat{\sigma}_b^2 = a_n \sum_{r=1}^n \frac{(X_{(r)} - \hat{\mu}_{blue})^2}{v_{2(r)}} \quad (3)$$

که در آن با توجه به سینها و همکاران [۶]، $\hat{\mu}_{blue} = \frac{\sum_{r=1}^n (X_{(r)}/v_{2(r)})}{\sum_{r=1}^n (1/v_{2(r)})}$ بهترین برآوردگر نالریب خطی میانگین با σ^2 است و a_n که به صورتی به دست آمده که $\hat{\sigma}_b^2$ برای σ^2 نالریب باشد، بدین صورت محاسبه می‌شود:

$$a_n = \frac{1}{n - 1 + \sum_{r=1}^n \frac{v_{(r)}^2}{v_{2(r)}}}.$$

برآورد واریانس برای بیش از یک چرخه

در این بخش برآوردگر واریانس توزیع نرمال با استفاده از روش RSS برای بیش از یک چرخه و n نمونه در هر چرخه ارائه می‌شود.

ابتدا فرض کنید نمونه‌ای به حجم mn با n ردی هر کدام با اندازه m به صورت مجموعه

$$\{X_{(r)i}; r = 1, \dots, n, i = 1, \dots, m\}$$

داشته باشیم، برآوردگر (۴) را که تعمیم برآوردگر استوکس [۸] بر اساس m چرخه است و مانند برآوردگر $\hat{\sigma}_{SM}^2$ در حالت یک چرخه به دست می‌آید، به عنوان برآوردی نالریب از σ^2 در نظر می‌گیریم:

$$\hat{\sigma}_{MSM}^2 = \frac{\sum_{i=1}^m \sum_{r=1}^n (X_{(r)i} - \hat{\mu})^2}{mn - 1 + \frac{1}{n} \sum_{r=1}^n v_{(r)}^2} \quad (4)$$

برآوردگرهای دیگری برای σ^2 با استفاده از این روش‌های به دست می‌آیند:

۱. در این روش، هر چرخه را یک نمونه جداگانه به صورت $\{X_{(1)i}, X_{(2)i}, \dots, X_{(n)i}\}$ در نظر گرفته و برآوردگر σ^2 برای چرخه i -ام که با $\hat{\sigma}_{(i)}^2$ نشان داده می‌شود، محاسبه می‌شود. سپس از آن جاکه $\hat{\sigma}_{(i)}^2$ -ها از یکدیگر مستقل هستند، برآوردگر بر اساس m چرخه به صورت $\frac{1}{m} \sum_{i=1}^m \hat{\sigma}_{(i)}^2$ به دست می‌آید. با جایگذاری دو برآوردگر $\hat{\sigma}_{SM}^2$ و $\hat{\sigma}_b^2$ که در روابط (۲) و (۳) ارائه شده‌اند، به جای $\hat{\sigma}_{(i)}^2$ برآوردگرهای حاصل از این روش به ترتیب با $\hat{\sigma}_{CSM}^2$ و $\hat{\sigma}_{Cb}^2$ نشان داده می‌شوند.

۲. برای ارائه برآوردگر با استفاده از این روش RSS، mn نمونه، n ردی هر کدام با اندازه m در نظر گرفته می‌شود. به منظور ارائه برآوردگر ابتدا $\hat{\sigma}_{MSM}^2$ بدین صورت بازنویسی می‌شود:

$$\begin{aligned} \hat{\sigma}_{MSM}^2 &= C \left\{ (m-1) \sum_{r=1}^n V_r + m \sum_{r=1}^n (\bar{X}_{(r)} - \hat{\mu})^2 \right\} \\ &\quad \text{و } C = \left(mn - 1 + \frac{1}{n} \sum_{r=1}^n v_{(r)}^2 \right)^{-1}, \bar{X}_{(r)} = \frac{1}{m} \sum_{i=1}^m X_{(r)i} \\ &\quad \text{که در آن } V_r = \frac{1}{m-1} \sum_{i=1}^m (X_{(r)i} - \bar{X}_{(r)})^2 \end{aligned}$$

چنان‌که مشاهده می‌شود $\hat{\sigma}_{MSM}^2$ را می‌توان به دو برآوردهای درون‌گروهی و بین‌گروهی تجزیه کرد. با توجه به یو و همکاران [۱۰]، $E(V_r) = \sigma^2 V_{2(r)}$ بر اساس V_r بدین صورت است:

$$\hat{\sigma}_W^2 = \sum_{r=1}^n d_r V_r ; \quad d_r = \frac{\eta_{(r)}}{\sum_{k=1}^n \frac{V_{2(k)}^2}{\eta_{(k)}}} \quad (5)$$

علاوه بر این، V_r -ها مستقل با واریانس $Var(V_r) = \sigma^4 \eta_{(r)}$ بدین صورت محاسبه می‌شود:

$$\eta_{(r)} = \frac{V_{4(r)} + V_{2(r)}^2}{m} + \frac{2}{m(m-1)} V_{2(r)}^2$$

بنابراین

$$Var(\hat{\sigma}_W^2) = \sum_{r=1}^n d_r^2 Var(V_r) = \frac{\sigma^4}{\sum_{r=1}^n \frac{V_{2(r)}^2}{\eta_{(r)}}}$$

یو و همکاران [۱۰]، سپس قسمت بین‌گروهی را مدنظر قرار داده و دو برآوردهای σ^2 بر اساس میانگین‌های n رده یعنی $\{\bar{X}_{(r)}; r = 1, \dots, n\}$ ارائه کردند. دو برآوردهای مطرح شده بدین صورت است:

الف) برآوردهای بین‌گروهی بر اساس $\hat{\sigma}_{SM}^2$

$$\hat{\sigma}_{B1}^2 = \frac{\sum_{r=1}^n (\bar{X}_{(r)} - \hat{\mu})^2}{\frac{n-1}{m} + \frac{nm-n+1}{nm} \sum_{r=1}^n V_{(r)}^2} \quad (6)$$

ب) برآوردهای بین‌گروهی بر اساس $\hat{\sigma}_b^2$

$$\hat{\sigma}_{B2}^2 = a_{n,m} \sum_{r=1}^n \frac{(\bar{X}_{(r)} - \tilde{\mu}_{blue})^2}{V_{2(r)}/m} \quad (7)$$

$$\cdot \tilde{\mu}_{blue} = \frac{\sum_{r=1}^n (\bar{X}_{(r)} / V_{2(r)})}{\sum_{r=1}^n (1/V_{2(r)})} \quad \text{و} \quad a_{n,m} = \left(n-1 + m \sum_{r=1}^n \frac{V_{(r)}^2}{V_{2(r)}} \right)^{-1} \quad \text{که در آن}$$

۳. در این روش رده‌ای از برآوردهای نالریب بدین صورت معرفی می‌شود:

$$; \quad \varepsilon \in [0, 1] \quad \hat{\sigma}_{WB}^2(\varepsilon) = \varepsilon \hat{\sigma}_W^2 + (1-\varepsilon) \hat{\sigma}_B^2 \quad (8)$$

که در آن $\hat{\sigma}_W^2$ برآوردهای درون‌گروهی ارائه شده در (۵) است و $\hat{\sigma}_B^2$ یکی از دو برآوردهای بین‌گروهی (۶) یا (۷) است. با قرار دادن هر کدام از دو برآوردهای (۸) و (۷) در رابطه (۶) برآوردهایی حاصل می‌شوند که به ترتیب با $\hat{\sigma}_{WB_1}^2$ و $\hat{\sigma}_{WB_2}^2$ نشان داده می‌شوند.

قضیه ۱. مقدار بهینه ε که واریانس $\hat{\sigma}_{WB}^2$ را به کمترین مقدار می‌رساند بدین صورت است:

$$\varepsilon^* = \frac{Var(\hat{\sigma}_B^2) - Cov(\hat{\sigma}_W^2, \hat{\sigma}_B^2)}{Var(\hat{\sigma}_W^2) + Var(\hat{\sigma}_B^2) - 2Cov(\hat{\sigma}_W^2, \hat{\sigma}_B^2)}$$

اثبات.

$$Var(\hat{\sigma}_{WB}^2) = \varepsilon^2 Var(\hat{\sigma}_W^2) + (1 - \varepsilon)^2 Var(\hat{\sigma}_B^2) + 2\varepsilon(1 - \varepsilon)Cov(\hat{\sigma}_W^2, \hat{\sigma}_B^2) \quad (9)$$

با مشتق‌گیری از رابطه (۹) نسبت به ε و برابر صفر قرار دادن آن داریم:

$$\varepsilon = \frac{Var(\hat{\sigma}_B^2) - Cov(\hat{\sigma}_W^2, \hat{\sigma}_B^2)}{Var(\hat{\sigma}_W^2) + Var(\hat{\sigma}_B^2) - 2Cov(\hat{\sigma}_W^2, \hat{\sigma}_B^2)} \quad (10)$$

از طرفی مشتق دوم $Var(\hat{\sigma}_{WB}^2)$ نسبت به ε بدین صورت است:

$$\begin{aligned} \frac{\partial^2 Var(\hat{\sigma}_{WB}^2)}{\partial \varepsilon^2} &= 2Var(\hat{\sigma}_W^2) + 2Var(\hat{\sigma}_B^2) - 4Cov(\hat{\sigma}_W^2, \hat{\sigma}_B^2) \\ &= 2Var(\hat{\sigma}_W^2 - \hat{\sigma}_B^2). \end{aligned}$$

چنان‌که مشاهده می‌شود مشتق دوم یک عبارت مثبت است و در نتیجه رابطه (۱۰) باعث کمینه شدن (۹) می‌شود.

پژوهش‌های شبیه‌سازی

در این بخش از شبیه‌سازی مونت‌کارلو برای مقایسه برآوردهای ارائه شده در دو بخش قبل با یکدیگر و مقایسه آن‌ها با برآوردگر واریانس در روش SRS (S^2) و $\hat{\sigma}_{St}^2$ در رابطه (۱) استفاده شده است. تمامی نمونه‌های این پژوهش از توزیع نرمال استاندارد تولید شده‌اند.

در جدول ۱ مقادیر کارایی برآوردهای $\hat{\sigma}_b^2$ نسبت به S^2 و $\hat{\sigma}_{SM}^2$ برای $n = 10000$ بار تکرار مونت کارلو با ارائه شده است. با توجه به این جدول مشاهده می‌شود که کارایی $\hat{\sigma}_b^2$ از هر دو برآوردهای S^2 و $\hat{\sigma}_{SM}^2$ بیشتر است و با افزایش n بیشتر می‌شود.

جدول ۱. مقادیر کارایی $\hat{\sigma}_b^2$ نسبت به دو برآوردهای S^2 و $\hat{\sigma}_{SM}^2$

۱۰	۹	۸	۷	۶	۵	۴	۳	n
۲/۲۴	۲/۰۸	۱/۹۵	۱/۸۴	۱/۷۰	۱/۵۷	۱/۴۱	۱/۲۷	$e(\hat{\sigma}_b^2, S^2)$
۱/۱۵	۱/۱۳	۱/۱۲	۱/۱۱	۱/۰۸	۱/۰۵	۱/۰۴	۱/۰۳	$e(\hat{\sigma}_b^2, \hat{\sigma}_{SM}^2)$

جدول ۲ شامل مقادیر کارایی برآوردهای $\hat{\sigma}_W^2$, $\hat{\sigma}_{B1}^2$ و $\hat{\sigma}_{B2}^2$ نسبت به S^2 و $\hat{\sigma}_{MSM}^2$ می‌باشد. همچنین جدول ۳ مقادیر کارایی $\hat{\sigma}_{WB1}^2$ و $\hat{\sigma}_{WB2}^2$ را نسبت به این دو برآوردهای نشان می‌دهد که در فرمول این دو برآوردهای جهت شبیه‌سازی، از برآوردهای ε^* استفاده شده است. در پژوهش مربوط به این دو جدول تعداد تکرار مونت کارلو ۱۰۰۰۰۰ با $m=2, \dots, 6$ و $n=2, \dots, 5$ است. چنان‌که از جدول ۲ مشاهده می‌شود برآوردهای $\hat{\sigma}_W^2$, $\hat{\sigma}_{B1}^2$ و $\hat{\sigma}_{B2}^2$ عملکرد ضعیفی نسبت به برآوردهای روش SRS و همچنین برآوردهای تعمیم یافته استوکس دارند.

جدول ۲. مقادیر کارایی $\hat{\sigma}_{MSM}^2$ و S^2 نسبت به $\hat{\sigma}_{B1}^2$, $\hat{\sigma}_W^2$ و $\hat{\sigma}_{B2}^2$

$e(\hat{\sigma}_{B2}^2, \hat{\sigma}_{MSM}^2)$	$e(\hat{\sigma}_{B1}^2, \hat{\sigma}_{MSM}^2)$	$e(\hat{\sigma}_W^2, \hat{\sigma}_{MSM}^2)$	$e(\hat{\sigma}_{B2}^2, S^2)$	$e(\hat{\sigma}_{B1}^2, S^2)$	$e(\hat{\sigma}_W^2, S^2)$	m	n
۰/۵۲	۰/۵۲	۰/۶۰	۰/۵۵	۰/۵۶	۰/۶۵	۲	۲
۰/۴۱	۰/۴۱	۰/۷۵	۰/۴۳	۰/۴۳	۰/۷۹	۳	
۰/۳۶	۰/۳۶	۰/۸۰	۰/۳۷	۰/۳۷	۰/۸۳	۴	
۰/۳۳	۰/۳۳	۰/۸۵	۰/۳۴	۰/۳۴	۰/۸۷	۵	
۰/۳۱	۰/۳۱	۰/۸۷	۰/۳۲	۰/۳۲	۰/۸۸	۶	
۰/۶۷	۰/۶۶	۰/۵۰	۰/۷۷	۰/۷۶	۰/۵۸	۲	۳
۰/۵۸	۰/۵۷	۰/۶۴	۰/۶۵	۰/۶۴	۰/۷۲	۳	
۰/۵۲	۰/۵۲	۰/۷۱	۰/۵۸	۰/۵۷	۰/۷۹	۴	
۰/۵۰	۰/۴۹	۰/۷۴	۰/۵۶	۰/۵۵	۰/۸۳	۵	
۰/۴۸	۰/۴۸	۰/۷۷	۰/۵۴	۰/۵۴	۰/۸۵	۶	
۰/۷۶	۰/۷۳	۰/۴۴	۰/۹۷	۰/۹۴	۰/۵۶	۲	۴
۰/۶۷	۰/۶۵	۰/۵۷	۰/۸۲	۰/۸۰	۰/۷۰	۳	
۰/۶۳	۰/۶۲	۰/۶۴	۰/۷۷	۰/۷۵	۰/۷۸	۴	
۰/۶۱	۰/۶۰	۰/۶۶	۰/۷۴	۰/۷۲	۰/۸۰	۵	
۰/۶۰	۰/۵۸	۰/۷۰	۰/۷۲	۰/۷۱	۰/۸۵	۶	
۰/۸۲	۰/۷۹	۰/۴۰	۱/۱۱	۱/۰۶	۰/۵۴	۲	۵
۰/۷۵	۰/۷۲	۰/۵۱	۰/۹۹	۰/۹۵	۰/۶۸	۳	
۰/۷۱	۰/۶۹	۰/۵۷	۰/۹۳	۰/۹۰	۰/۷۵	۴	
۰/۶۹	۰/۶۷	۰/۶۲	۰/۹۰	۰/۸۷	۰/۸۱	۵	
۰/۶۸	۰/۶۶	۰/۶۴	۰/۸۷	۰/۸۵	۰/۸۳	۶	

جدول ۳. مقادیر کارایی S^2 و $\hat{\sigma}_{WB2}^2$ نسبت به $\hat{\sigma}_{MSM}^2$ و $\hat{\sigma}_{WB1}^2$

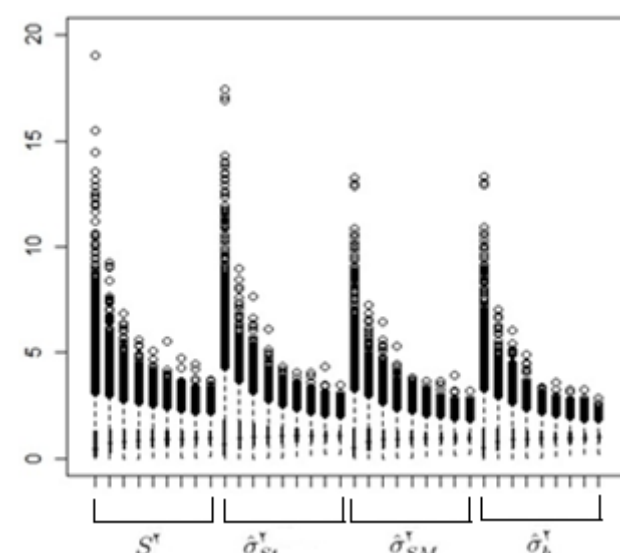
$e(\hat{\sigma}_{WB2}^2, \hat{\sigma}_{MSM}^2)$	$e(\hat{\sigma}_{WB1}^2, \hat{\sigma}_{MSM}^2)$	$e(\hat{\sigma}_{WB2}^2, S^2)$	$e(\hat{\sigma}_{WB1}^2, S^2)$	m	n
۱/۰۶	۱/۰۶	۱/۱۳	۱/۱۳	۲	۲
۱/۰۸	۱/۰۸	۱/۱۴	۱/۱۴	۳	
۱/۰۸	۱/۰۸	۱/۱۲	۱/۱۲	۴	
۱/۱۰	۱/۱۰	۱/۱۲	۱/۱۲	۵	
۱/۱۰	۱/۱۰	۱/۱۲	۱/۱۲	۶	
۱/۰۸	۱/۰۷	۱/۲۵	۱/۲۴	۲	۳
۱/۱۱	۱/۱۰	۱/۲۵	۱/۲۴	۳	
۱/۱۱	۱/۱۱	۱/۲۴	۱/۲۴	۴	
۱/۱۳	۱/۱۲	۱/۲۶	۱/۲۶	۵	
۱/۱۳	۱/۱۳	۱/۲۶	۱/۲۶	۶	
۱/۱۰	۱/۰۸	۱/۴۰	۱/۳۷	۲	۴
۱/۱۲	۱/۱۱	۱/۳۸	۱/۳۶	۳	
۱/۱۴	۱/۱۳	۱/۴۰	۱/۳۸	۴	
۱/۱۳	۱/۱۲	۱/۳۷	۱/۳۶	۵	
۱/۱۶	۱/۱۵	۱/۴۰	۱/۳۸	۶	
۱/۱۱	۱/۰۸	۱/۵۱	۱/۴۶	۲	۵
۱/۱۴	۱/۱۱	۱/۵۱	۱/۴۷	۳	
۱/۱۴	۱/۱۳	۱/۵۰	۱/۴۷	۴	
۱/۱۶	۱/۱۲	۱/۵۱	۱/۴۸	۵	
۱/۱۷	۱/۱۵	۱/۵۱	۱/۴۸	۶	

پس از ادغام $\hat{\sigma}_W^2$ با هر یک از دو برآوردهای $\hat{\sigma}_{B1}^2$ و $\hat{\sigma}_{WB1}^2$ به ترتیب برآوردهای $\hat{\sigma}_{WB2}^2$ به دست می‌آیند که با توجه به جدول ۳ مشاهده می‌شود کارایی این دو برآوردهای S^2 و $\hat{\sigma}_{MSM}^2$ بیشتر است و دو برآوردهای ادغامی عملکرد تقریباً یکسانی دارند. همچنین مشاهده می‌شود که کارایی این دو برآوردهای نسبت به S^2 با افزایش m تقریباً ثابت می‌ماند اما با افزایش n افزایش می‌یابد و نسبت به $\hat{\sigma}_{MSM}^2$ با افزایش n و m با شدت بسیار کمی افزایش می‌یابد و می‌توان گفت با تغییر n و m کارایی $\hat{\sigma}_{WB2}^2$ و $\hat{\sigma}_{MSM}^2$ نسبت به $\hat{\sigma}_{WB1}^2$ تقریباً ثابت می‌ماند.

جدول ۴. مقادیر MSE برآوردهای ارائه شده برای واریانس توزیع نرمال

$\hat{\sigma}_{WB2}^2$	$\hat{\sigma}_{WB1}^2$	$\hat{\sigma}_{B2}^2$	$\hat{\sigma}_{B1}^2$	$\hat{\sigma}_W^2$	$\hat{\sigma}_{Cb}^2$	$\hat{\sigma}_{CSM}^2$	n	m
۰/۵۸	۰/۵۸	۱/۱۵۸	۱/۱۵	۱/۰۵	۰/۷۹	۰/۸۰	۲	۲
۰/۳۲	۰/۳۳	۰/۵۳	۰/۵۴	۰/۶۸	۰/۳۹	۰/۳۹	۳	
۰/۲۱	۰/۲۱	۰/۳۱	۰/۳۱	۰/۵۲	۰/۲۴	۰/۲۵	۴	
۰/۳۶	۰/۳۶	۰/۹۴	۰/۹۴	۰/۵۳	۰/۵۶	۰/۵۶	۲	۳
۰/۱۹	۰/۲۰	۰/۳۸	۰/۳۹	۰/۳۴	۰/۲۵	۰/۲۶	۳	
۰/۱۳	۰/۱۳	۰/۲۱	۰/۲۱	۰/۲۷	۰/۱۶	۰/۱۷	۴	
۰/۲۵	۰/۲۵	۰/۸۰	۰/۷۷	۰/۳۴	۰/۴۲	۰/۴۲	۲	۴
۰/۱۵	۰/۱۵	۰/۳۱	۰/۳۱	۰/۲۴	۰/۱۹	۰/۲۰	۳	
۰/۰۹	۰/۱۰	۰/۱۸	۰/۱۸	۰/۱۸	۰/۱۲	۰/۱۲	۴	

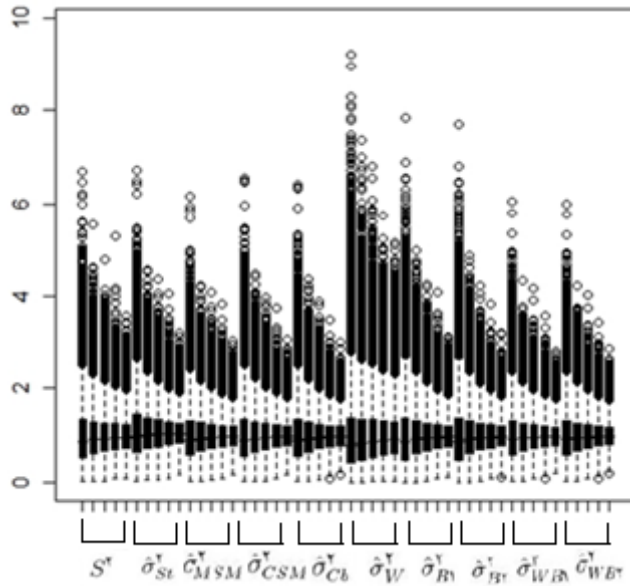
در جدول ۴ مقادیر شبیه‌سازی شده MSE برای برآوردهای ارائه شده برای واریانس توزیع نرمال با اندازه‌های $m=2,3,4$ و $n=2,3,4$ برای ۱۰۰۰۰ تکرار مونت کارلو ارائه شده است. با توجه به این جدول مشاهده می‌شود که در بین برآوردهای ارائه شده برای واریانس توزیع نرمال، دو برآوردهای $\hat{\sigma}_{WB2}^2$ و $\hat{\sigma}_{WB1}^2$ دارای MSE کمتری نسبت به بقیه هستند. همچنین با افزایش n و m برای همه برآوردها MSE کاهش می‌یابد.



شکل ۱. نمودار جعبه‌ای مقایسه برآوردهای S^2 و $\hat{\sigma}_{St}^2$ و $\hat{\sigma}_{SM}^2$ و $\hat{\sigma}_b^2$

در شکل ۱ نمودار جعبه‌ای برآوردهای $\hat{\sigma}_{SM}^2$ و $\hat{\sigma}_b^2$ در (2) و (3) و برآوردهای S^2 و $\hat{\sigma}_{St}^2$ برای $n=2,\dots,10$ و $m=1$ با ۱۰۰۰۰ تکرار مونت کارلو نشان داده شده است. چنان‌که مشاهده می‌شود با افزایش n دامنه تغییرات و دامنه

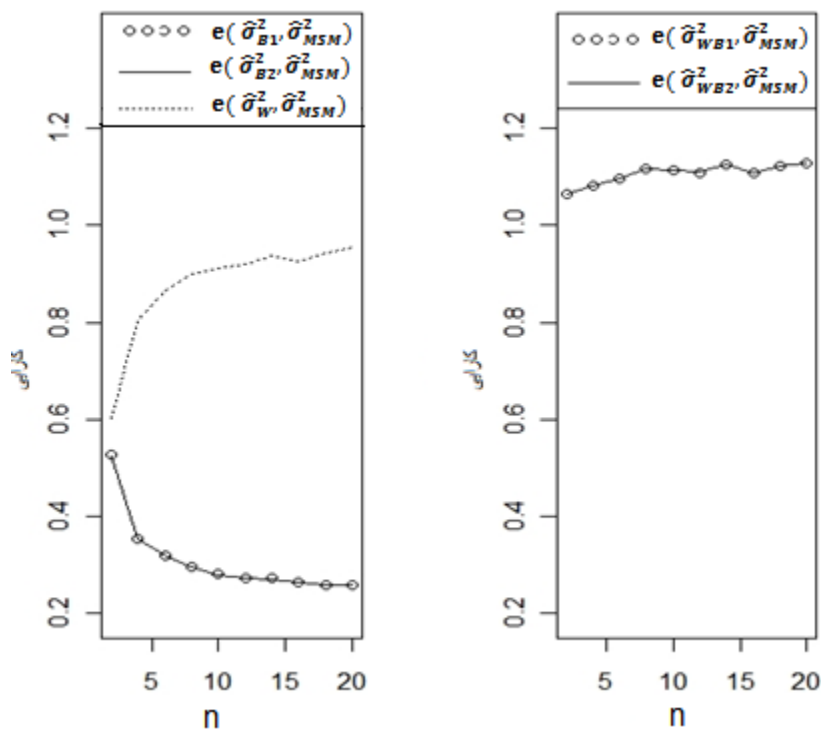
میان چارکی برای هر یک از ۴ برآوردهای کاهش می‌یابد. همچنین برآوردهای به دست آمده برای توزیع نرمال دارای پراکندگی کمتر و در نتیجه MSE کمتری نسبت به برآوردهای استوکس و برآوردهای به دست آمده از روش SRS هستند. بین دو برآوردهای مربوط به توزیع نرمال، $\hat{\sigma}_b^2$ پراکندگی و MSE کمتری نسبت به $\hat{\sigma}_{SM}^2$ دارد.



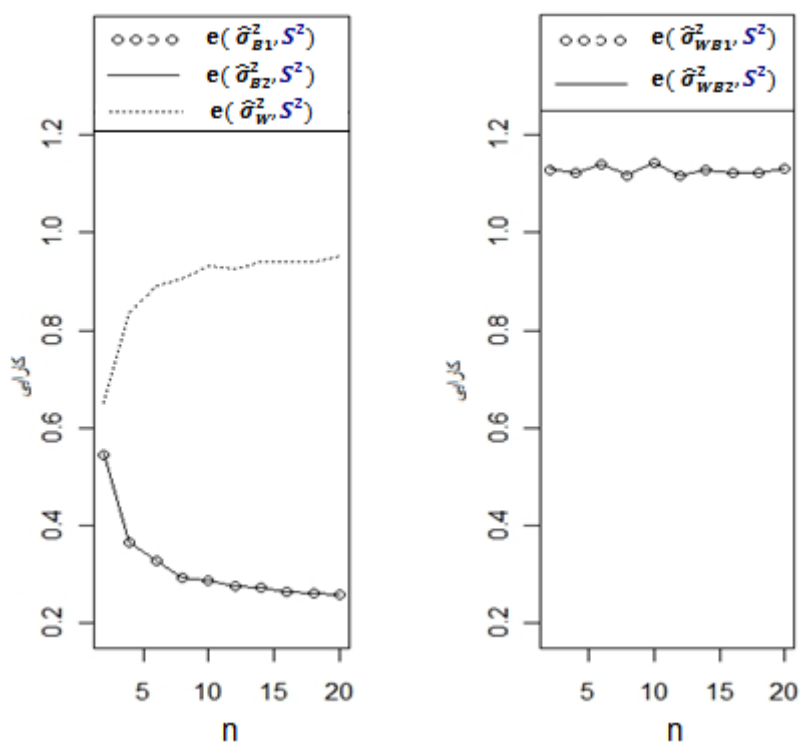
شکل ۲. نمودار جعبه‌ای مقایسه برآوردهای ارائه شده برای واریانس با $m=2$

در شکل ۲ مقادیر شبیه‌سازی شده برآوردهای معرفی شده در بخش قبل با تعداد تکرار ۱۰۰۰۰ و اندازه $n=3, \dots, 6$ و $m=2$ نشان داده شده است. چنان‌که مشاهده می‌شود دامنه تغییرات سه برآوردهای $\hat{\sigma}_{B1}^2$, $\hat{\sigma}_{B2}^2$ و $\hat{\sigma}_W^2$ نسبت به سایر برآوردهای بیشتر است و در نتیجه MSE بیشتری نسبت به آن‌ها دارند اما برآوردهای به دست آمده از ادغام این سه برآوردهای کمترین دامنه تغییرات و در نتیجه کمترین MSE را دارند. همچنین با افزایش n و m دامنه تغییرات همه برآوردهای کاهش می‌یابد.

در شکل‌های ۳ و ۴ به ترتیب نمودار کارایی برآوردهای بین‌گروهی، درون‌گروهی و ترکیب آن‌ها نسبت به برآوردهای تعمیم‌یافته استوکس و برآوردهای روش تصادفی ساده رسم شده است. با توجه به این دو شکل مشاهده می‌شود که کارایی برآوردهای بین‌گروهی و درون‌گروهی نسبت به دو برآوردهای تعمیم‌یافته استوکس و برآوردهای روش تصادفی ساده کمتر از یک است و با ترکیب برآوردهای درون‌گروهی با هر یک از برآوردهای بین‌گروهی دو برآوردهای $\hat{\sigma}_{WB1}^2$ و $\hat{\sigma}_{WB2}^2$ به دست می‌آیند که کارایی آن‌ها نسبت به هر دو برآوردهای تعمیم‌یافته استوکس و برآوردهای روش تصادفی ساده بیشتر از یک است.



شکل ۳. نمودار کارایی برآوردهای بین‌گروهی، درون‌گروهی و ترکیب آن‌ها نسبت به برآوردهای تعمیم یافته استوکس



شکل ۴. نمودار کارایی برآوردهای بین‌گروهی، درون‌گروهی و ترکیب آن‌ها نسبت به برآوردهای روش تصادفی ساده.

نتیجه‌گیری

در این مقاله ابتدا به معرفی روش RSS پرداختیم. سپس با استفاده از این روش، چند برآوردگر برای واریانس توزیع نرمال ارائه شد. برای مقایسه دقت این برآوردگرها از پژوهش‌های شبیه‌سازی استفاده شد. نتایج شبیه‌سازی نشان داد که MSE این برآوردگرها با افزایش n و m کاهش می‌یابد و در بین برآوردگرهای ارائه شده برای واریانس توزیع نرمال با استفاده از روش RSS، آن‌هایی که از ترکیب برآوردگرهای بین‌گروهی و درون‌گروهی به‌دست آمداند دارای دقت بیشتری هستند.

منابع

1. Dell T. R., Clutter J. L. "Ranked set sampling theory with order statistics background", *Biometrics*, 28 (1972) 545-555.
2. Halls L. K., Dell T. R., "Trial of ranked-set sampling for forage yields", *Forest Science*, 12, (1966) 22-26.
3. Frey J., Feeman T. G., "Variance estimation using judgment post-stratification", *Annals of the Institute of Statistical Mathematics* 65 (2013) 551-569.
4. MacEachern S. N., Ozturk O., Wolfe D. A., "A new ranked set sample estimator of variance", *Journal of the Royal Statistical Society* 64 (2002) 177-188.
5. McIntyre G. A. "A method for unbiased selective sampling using ranked sets", *Australian Journal of Agricultural Research* 3 (1952) 385-390.
6. Perron F., Sinha B. K., "Estimation of variance based on a ranked set sample", *Journal of Statistical Planning and Inference* 120 (2004) 21-28.
7. Sinha Bikas k., Purkayastha S., "On some aspects of ranked set sampling for estimation of normal and exponential parameters", *Statistical and Decision*, 14 (1996) 223-240.
8. Stokes S. L., "Ranked set sampling with concomitant variables", *Communications in Statistics-Theory and Methods* 12 (1977) 1207-1211.
9. Stokes S. L., "Estimation of variance using judgment ordered ranked set samples", *Biometrics* 36 (1980) 35-42.
10. Takahasi K., Wakimoto K., "On unbiased estimates of the population mean based on the sample stratified by means of ordering", *Annals of the Institute of Statistical Mathematics* 20(1968) 1-31.
11. Yu P. H. L., Lam K., Sinha B. K., "Estimation of normal variance based on balanced and unbalanced ranked set samples", *Biometrics*, 53 (1999) 1070-1080.

12. Zamanzade E., Vock M., "Variance estimation in ranked set sampling using a concomitant variable", *Statistics and Probability Letters*, 105 (2015) 1-5.
13. Zamanzade E., Al-Omari A. I., "New ranked set sampling for estimating the population mean and variance", *Hacettepe Journal of Mathematics and Statistics* (2016) 1891.